

直交異方性厚板の三次元応力解析

大阪市立大学 正員 園田恵一郎

大阪市立大学 正員 ○堀川都志雄

1. はじめに； 三次元直交異方性の解析は、H.A.Elliott等の3つの調和関数を用いるもの、S.G.Lekhnitskyの重調和関数を用いるものがあり、又等方弾性論におけるMindlinの解と類似の解を示すものに関しては、Kelvin型と同型の関数を用いる岡村・島田の解¹⁾、Y.C.Pan等は前述の重調和関数を満足する関数を用いるもの²⁾があげられ、著者等は、Lekhnitskyの関数を基本にして直交異方性厚板における2,3の数値結果を示した³⁾。しかしながら、これらの解は、いずれも鉛直方向のdameの定数のみが異なる場合について考慮されたものである。

本研究は、水平面内に三次元および二次元直交異方性の性質を表わす場合の関数 およびそれを使っての直交異方性厚板の解を求めたものである。

2. 理論式；

板の中央面内にx-y軸をとり、その面に垂直にz軸をとる。さらに、以後の理論においては、x軸方向のdameの定数のみが異なるものとする。理論式の説明は、紙面の都合上省略する。

a) Hookeの法則：

$$\begin{aligned} \sigma_x &= (\bar{\lambda} + 2\bar{\mu}) \cdot \varepsilon_x + \bar{\lambda} \cdot \varepsilon_y + \bar{\lambda} \cdot \varepsilon_z, & \tau_{xy} &= \bar{\mu} \cdot \gamma_{xy}, \\ \sigma_y &= \bar{\lambda} \cdot \varepsilon_x + (\lambda + 2\mu) \cdot \varepsilon_y + \lambda \cdot \varepsilon_z, & \tau_{xz} &= \bar{\mu} \cdot \gamma_{xz}, \\ \sigma_z &= \bar{\lambda} \cdot \varepsilon_x + \lambda \cdot \varepsilon_y + (\lambda + 2\mu) \cdot \varepsilon_z, & \tau_{yz} &= \mu \cdot \gamma_{yz}. \end{aligned} \quad \left. \right\} \quad (1)$$

ここで、 $\lambda, \bar{\lambda}, \mu, \bar{\mu}$ ；dameの定数 である。

b) 变位関数と変位u, v, wとの関係式；

$$u = \frac{B_{11}}{B_{12}} \cdot \left(\frac{B_{66}}{B_{11}} \cdot \frac{\partial^2}{\partial x^2} + \frac{\partial^2}{\partial y^2} + \frac{\partial^2}{\partial z^2} \right) \cdot F_x, \quad v = -\frac{\partial^2 F_x}{\partial x \cdot \partial y} + \frac{\partial^2 \varphi_x}{\partial z^2}, \quad w = -\frac{\partial^2 F_x}{\partial x \cdot \partial z} - \frac{\partial^2 \varphi_x}{\partial y^2} \quad (2)$$

$$(R_x \cdot \frac{\partial^2}{\partial x^2} + \frac{\partial^2}{\partial y^2} + \frac{\partial^2}{\partial z^2}) \cdot (S_x \cdot \frac{\partial^2}{\partial x^2} + \frac{\partial^2}{\partial y^2} + \frac{\partial^2}{\partial z^2}) \cdot F_x = -\frac{B_{12}}{B_{11} \cdot B_{66}} \cdot X \quad (3)$$

$$(T_x \cdot \frac{\partial^2}{\partial x^2} + \frac{\partial^2}{\partial y^2} + \frac{\partial^2}{\partial z^2}) \cdot \varphi_x = 0 \quad (4)$$

ここで、 $2R_x = a_x + \sqrt{a_x^2 - 4b_x}$, $2S_x = a_x - \sqrt{a_x^2 - 4b_x}$, $T_x = B_{66}/B_{44}$,

$$a_x = (B_{11} \cdot B_{22} + B_{66}^2 - B_{12}^2)/(B_{11} \cdot B_{66}), \quad b_x = B_{22}/B_{11},$$

$$B_{11} = \lambda + 2\mu, \quad B_{22} = \bar{\lambda} + 2\bar{\mu}, \quad B_{66} = \bar{\mu}, \quad B_{44} = \mu, \quad B_{12} = \bar{\lambda} + \bar{\mu},$$

X; x軸方向のbody-force である。

もし、z軸方向のdameの定数のみが異なる場合については、変位、body-forceも含めて、 $x \rightarrow z, y \rightarrow z, z \rightarrow y$ にそれぞれ巡回すれば、著者等が以前に発表したものと一致する。

なお、等方性の場合については、それぞれのdameの定数を同じものとすると、 F_x, φ_x はそれぞれ Galerkin vector W_x と Boussinesq の関数 ψ_x とに一致する。

1) 岡村・島田 “内部に集中力を受ける半無限異方性体の解析解”，第31回年次学術講演会

2) Y.C.Pan and T.W.Chou “Point Force Solution for an Infinite Transversely Isotropic Solid.” Trans.ASME., Dec., 1976.

3) 倉田・堀川 “鉛直方向の弾性係数が異なる厚板の解析”，第30回年次学術講演会

二次元直交異方性の平面応力状態における場合は、上式で $\sigma_z = 0$ とおくことより得ることができ、それらの式は次のようになります。

$$\sigma_x = \bar{B}_{22} \cdot \epsilon_x + \bar{B}_{12} \cdot \epsilon_y, \quad \sigma_y = \bar{B}_{12} \cdot \epsilon_x + \bar{B}_{11} \cdot \epsilon_y, \quad \tau_{xy} = \bar{B}_{66} \cdot \gamma_{xy} \quad (1')$$

$$u = \frac{\bar{B}_{11}}{\bar{B}_{12}} \left(\frac{B_{66}}{\bar{B}_{11}} \frac{\partial^2}{\partial x^2} + \frac{\partial^2}{\partial y^2} \right) \psi_x, \quad v = - \frac{\partial \psi_x}{\partial x}, \quad (2')$$

$$\left(\frac{\bar{B}_{22}}{\bar{B}_{11}} \frac{\partial^4}{\partial x^4} + \frac{\bar{B}_{11} \bar{B}_{22} + B_{66}^2 - B_{12}^2}{\bar{B}_{11} \bar{B}_{66}} \frac{\partial^4}{\partial x^2 \partial y^2} + \frac{\partial^4}{\partial y^4} \right) \psi_x = - \frac{\bar{B}_{12}}{\bar{B}_{11} \bar{B}_{66}} \bar{X} \quad (3')$$

$$\therefore \bar{B}_{11} = (\lambda + 2\mu) - \lambda^2 / (\lambda + 2\mu), \quad \bar{B}_{22} = (\bar{\lambda} + 2\bar{\mu}) - \bar{\lambda}^2 / (\bar{\lambda} + 2\bar{\mu}), \quad \bar{B}_{12} = \bar{\lambda} - \bar{\lambda} \cdot \lambda / (\lambda + 2\mu),$$

\bar{X} : 平面応力状態における body-force である。

3. 数値計算例:

図-1, 2 に示される載荷状態の場合についての計算結果を以下に示す。

各諸元は次の通りである。

i) Case-I (図-1) : $b/a = 1.0, \bar{s}/a = l/a = 0.5, u/a = v/a = 0.1, h/a = 0.2$.

ii) Case-II (図-2) : $b/a = 1.0, \bar{s}/a = 0.35, l/a = 0.5, u/a = v/a = w/a = 0.1, h/a = 0.2, p/a = 0.1$.

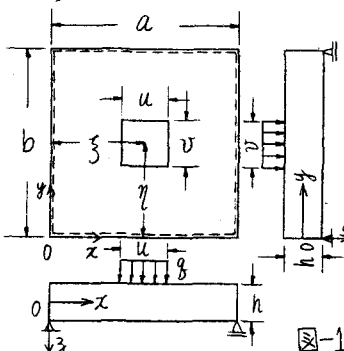


図-1

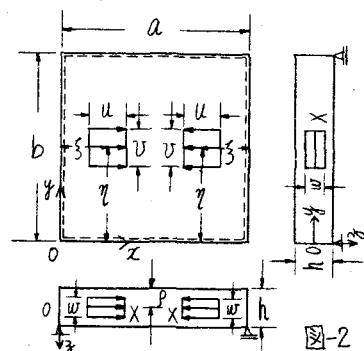


図-2

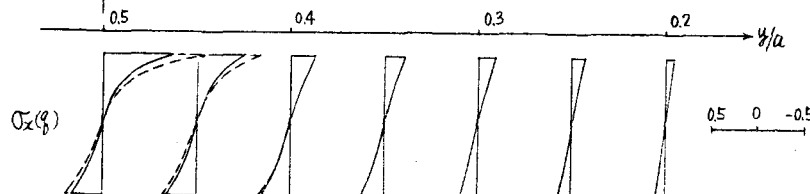
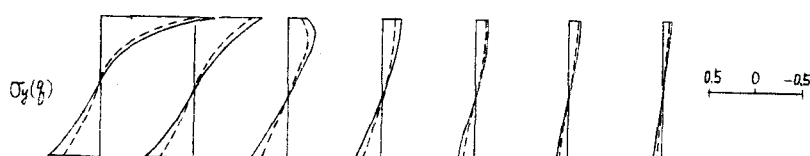


図-3 Case-Iにおける荷重点近傍の応力 σ_x, σ_y の分布図 ($y/a = 0.5$).



本計算に用いたヤング率、

ボアソン比は次の通りである。
 $E/\epsilon_{xx} = 2.0, \nu_x = \nu_y = 0.3$.

—— 本解法,
---- 等方性の解.

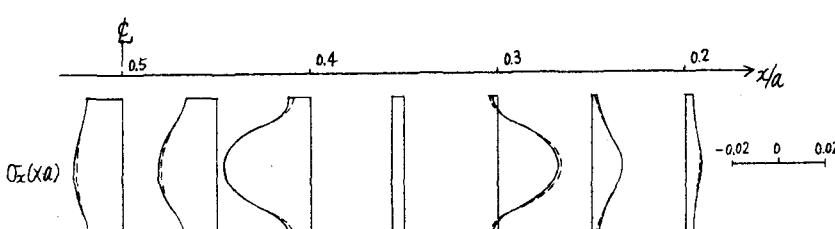
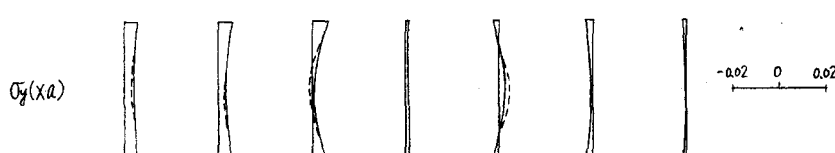


図-4 Case-IIにおける荷重点近傍の応力 σ_x, σ_y の分布図 ($y/a = 0.5$).



4. あとがき；
計算結果によれば、Case-Iにおいての応力 σ_x, σ_y の分布型は等方性の場合に比べて異なっていることが分る。